# スーパーエレメント法を用いたシザーズ要素の固有値解析の縮約法

東日本旅客鉄道株式会社 正会員 〇有賀 生 広島大学大学院 正会員 有尾 一郎

### 1. はじめに

計算機の性能と数理解析の発達に伴って、有限要素法 (FEM, RVE) などによる振動や座屈などの構造特性値は固有値解析によって得ることが一般的である。しかし、この解析は離散化要素の増加に伴って自由度の3乗に比例し、大きな固有値問題は計算精度と計算時間に課題があることが知られている<sup>1),2)</sup>。さらに可動なシザーズ構造は多重固有値問題を抱え解析上困難を伴う。本解析研究では、FEM モデルの自由度を外部と内部に分け、部分構造化による行列の縮約が可能となるスーパーエレメント法(SE 法)の計算概念を新たに開発し、その数値解の不変性と計算時間や容量を縮約し、解析の優位性が得られた。

## 2. 本解析手法の計算原理

本提案するスーパーエレメント (SE)法の自由度は 内部と SE に接続される外部に分類される。剛性方程 式において、剛性行列をK、変位ベクトルをu、外力 ベクトルをfとする。添字は外部をe、内部をiとそれ ぞれ表し、その自由度を収集する。Kとfは与値とし、 uを求める変位解析を行う。この解析では、内部変位 ベクトル $u_i$ を消去して未知数を外部変位ベクトル $u_e$ のみとする過程の縮約表現を用いた。

外部eと内部iに部分構造化に区分した剛性支配方程式の縮約表現を次式にて考える。

$$\begin{bmatrix} K_{ee} & K_{ei} \\ K_{ie} & K_{ii} \end{bmatrix} \begin{bmatrix} \mathbf{u}_e \\ \mathbf{u}_i \end{bmatrix} = \begin{bmatrix} \mathbf{f}_e \\ \mathbf{f}_i \end{bmatrix}$$
 (1)

式(1)の2段目の方程式

$$K_{ie}\boldsymbol{u}_e + K_{ii}\boldsymbol{u}_i = \boldsymbol{f}_i \tag{2}$$

から、 $K_{ii}$ が非特異の場合、 $u_i$ を次式で表現できる。

ここに、 $\Gamma = K_{ii}^{-1}K_{ie}$ とおくと

$$\boldsymbol{u}_i = K_{ii}^{-1} \boldsymbol{f}_i - \Gamma \boldsymbol{u}_e \tag{3}$$

と表され、式(1)に置き換えると、縮約表現された 剛性方程式が得られる。

キーワード SE 法, シザーズ, 縮約固有値, 固有振動 連絡先 〒739-8543 東広島市鏡山 1-4-1

Table. 2 Comparison of displacement results

| J  |        | I          |                   |                         |
|--|--------|------------|-------------------|-------------------------|
| Length of the scissor member $L$ (mm)        | 1000   | Node       | $u$ $(\times m)$  | $u_e, u_i \ (\times m)$ |
| Cross-sectional area of the                  | 384    | number     | (FEM)             | (SE method)             |
| scissor member $A(\text{mm}^2)$              |        | 1          | 0                 | 0                       |
| Deployment angle $\theta(^{\circ})$          | 45     | (e=1)      | 0                 | 0                       |
| Elastic modulus of the                       | 70     |            | 0                 | 0                       |
| scissor units $E_{al}$ (GPa)                 |        |            | -0.0180           | -0.0180                 |
| Sectional moment of inertia $I(\text{mm}^4)$ | 234592 | 2<br>(e=2) | 0.0102<br>-0.0000 | 0.0102<br>-0.0000       |
| Load P (N)                                   | 1000   | (6-2)      | 0                 | 0                       |
| Weight of the scissors unit $Q$ (N)          | 1000   |            | -0.0145           | -0.0145                 |
| Stiffness ratio between the scissor units    | 0.1    | 3          | 0.0051            | 0.0051                  |
| and their reinforcement $\alpha$             | 0.1    | (i=1)      | -0.0051           | -0.0051                 |
| and their reinforcement $\alpha$             | L      |            | -0.0073           | -0.0073                 |
|  |        |            | -0.0145           | -0.0145                 |
| △2(e=2) 5(e=4) △                             | 8(     | :          |                   | :                       |
|  | 5(i=2) | EA,EI      | 9(i=3             |                         |
| 9  |        |            | 1                 | L                       |
| (A) A(e=3)                                   | 7/-    | =5) 0      |                   | 10(e=7) Q               |

Fig. 1 Analysis model

$$\widetilde{K_{\varrho\varrho}}u_{\varrho}=\widetilde{f_{\varrho}}$$
 (4)

ここに、 $\widetilde{K_{ee}}=K_{ee}-K_{ei}\Gamma$ 、 $\widetilde{f_e}=f_e-\Gamma f_i$ とし、これは部分構造に圧縮された剛性行列と外力ベクトルである。 $u_e=\widetilde{K_{ee}}^{-1}\widetilde{f_e}$ と求まり、この解を式(3)に代入すると、最終的に全ての内部変位ベクトル $u_i$ が算出される。

#### 3. 平面シザーズにおける解析比較

モデルの解析条件をそれぞれ Table.1 と Fig.1 に示す。この場合は無補強とする。従来の FEM ではモデルの節点番号を順に振って一律に変位を求めるのに対し、SE 法では節点番号を境界部と内部に分け、求める境界部と内部の変位は式(3)、(4)でそれぞれ $u_e$ と $u_i$ を導出する。Table.2 に FEM と SE 法で導出した変位結果を示す。その結果から両者による数値解が一致し、整合した。

### 4. 本解析による固有値解析の縮約

SE 法によるシザーズ構造の振動問題における一般 化固有値問題を行った。剛性行列をK、質量行列をm、 固有値を $\lambda$ 、変位ベクトルを $u_e$ , $u_i$ とすると SE 法に おける自由振動方程式は、

$$\begin{bmatrix} K_{ee} & K_{ei} \\ K_{ie} & K_{ii} \end{bmatrix} \begin{bmatrix} \mathbf{u}_e \\ \mathbf{u}_i \end{bmatrix} = \lambda \begin{bmatrix} m_{ee} & m_{ei} \\ m_{ie} & m_{ii} \end{bmatrix} \begin{bmatrix} \mathbf{u}_e \\ \mathbf{u}_i \end{bmatrix}$$
(5)

となり、次式のように縮約表現される。

$$\widetilde{K_{\rho\rho}}\boldsymbol{u}_{\rho} = \lambda \widetilde{m_{\rho\rho}}\boldsymbol{u}_{\rho} \tag{6}$$

 $\widetilde{m_{ee}} = m_{ee} - m_{ei}\Gamma - \Gamma^T(m_{ie} - m_{ii}\Gamma)$ (7) これにより Table.1 と Fig.1 に示す解析条件からシ ザーズの鉛直方向変位に対する一般化固有値解析を 行った。FEM OK と mによる固有値は、

$$\begin{split} \lambda_1 &= 0.0000, \lambda_2 = 0.1445, \lambda_3 = 0.6075, \lambda_4 = 1.4695, \\ \lambda_5 &= 1.4695, \lambda_6 = 1.4695, \lambda_7 = 1.4695, \lambda_8 = 1.4695, \\ \lambda_9 &= 2.7883, \lambda_{10} = 4.3034, \lambda_{11} = 5.0579 \end{split}$$

SE 法の $\widetilde{K_{ee}}$ と $\widetilde{m_{ee}}$ による固有値は、

$$\lambda_{e1} = 0.0000, \lambda_{e2} = 0.1545, \lambda_{e3} = 0.7552, \lambda_{e4} = 1.4695$$
 
$$\lambda_{e5} = 1.4695, \lambda_{e6} = 1.4695, \lambda_{e7} = 1.4695, \lambda_{e8} = 1.4695$$

 $K_{ii}$ と $m_{ii}$ による固有値 $\lambda_i = 1.4695$ が求められ FEM と SE 法の固有モードの一例を Fig.2 と Fig.3 に示す。 固有値で 1.4695 が両者にn+2 個あった。この数値は SE 法の $K_{ii}$ と $m_{ii}$ から求めた固有値と一致した。

#### 5. 格間数nに対する計算量の検証

格間数nに対応する計算容量と計算時間は Table.3 に示す。FEM に比べ SE 法は計算時間の大幅な短縮 が可能となり、FEM の計算容量の限界以上の解析を 行うことが可能となった。

### 6. 格間数n に対する固有振動数の変化

格間数nに対する最小固有値の平方根である 1 次 固有振動数ω1ηの変化を参照し、解析結果を検証する。 1格間から10格間の固有振動数と先行研究で用いた 予測式 $\omega_{1n}/\omega_{11} = 1/n(1$ 格間の1次固有振動数 $\omega_{11} =$ 1.2122)を Fig.4 に示す。 FEM と SE 法により得られ たそれぞれの $\omega_{1n}$ は予測式とほぼ一致した。

#### 7. 結語

本卒業研究は、シザーズ構造系の階層的な部分構 造から構成される構造解析上の固有値解析に適用す るために、スーパーエレメント法の解析プログラム を開発し、支配方程式の行列演算の縮約化、その数値 解と計算速度の検証を行った。

その他明らかになったことを以下に示す。

固有値解析では、FEM のKとmによる固有値 $\lambda$ 、SE法の $\widetilde{K_{ee}}$ と $\widetilde{m_{ee}}$ による固有値 $\lambda_e$ 、 $K_{ii}$ と $m_{ii}$ による固 有値λ,が一致した。

格間数nによる 1 次固有振動数 $\omega_{1n}$ の変化の検 証を行った結果、実際に得られた固有値は予測 式 $\omega_{1n}/\omega_{11}=1/n$ とほぼ一致し、検証の妥当性と FEMと SE 法の整合性を確認した。

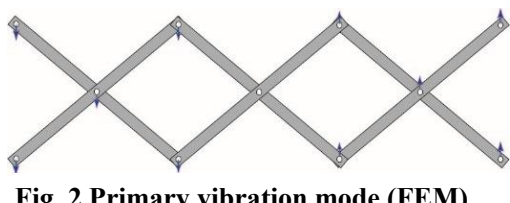


Fig. 2 Primary vibration mode (FEM)



Fig. 3 Primary vibration mode (SE)

Table. 3 Comparison of measurement time

| Number of co                   | offers $n$      | 1            | 2              | 3              | 5              | 10             | 20             |
|--------------------------------|-----------------|--------------|----------------|----------------|----------------|----------------|----------------|
| Array capacity                 | FEM             | 400          | 1024           | 1936           | 4624           | 16384          | 61504          |
| cs(n)                          | SE method       | 256          | 576            | 1024           | 2304           | 7744           | 28224          |
| Time to calculate              | FEM             | 0.1992       | 0.2004         | 0.2048         | 0.2244         | 0.2902         | 0.5206         |
| ct(sec)                        | SE method       | 0.2416       | 0.2144         | 0.2188         | 0.2344         | 0.2720         | 0.3970         |
|                                |                 |              |                |                |                |                |                |
| Number of co                   | offers n        | 50           | 100            | 150            | 190            | 200            | 250            |
| Number of co<br>Array capacity | offers n<br>FEM | 50<br>369664 | 100<br>1459264 | 150<br>3268864 | 190<br>5234944 | 200<br>5798464 | 250<br>9048064 |
|                                |                 |              |                |                |                |                |                |
| Array capacity                 | FEM             | 369664       | 1459264        | 3268864        | 5234944        | 5798464        | 9048064        |

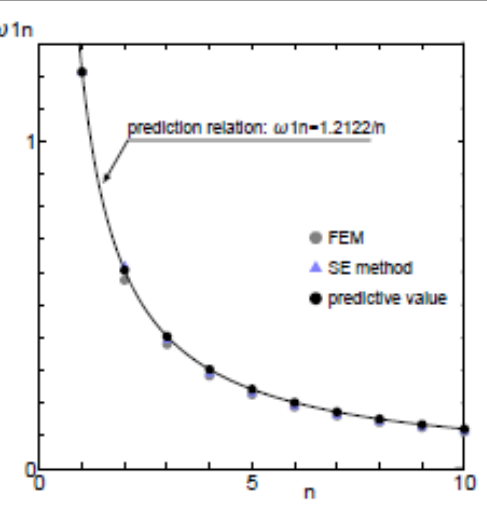


Fig. 4 Change in primary natural frequency for n

### 参考文献

- 1) 理化学研究所計算科学研究センター, 大規模並 列数値計算技術研究チーム, https://www.rccs.riken.jp/jp/overview/lab/lpnctrt.html (2021).
- 2) 林正、(2006)、ハイアラーキ有限要素法・大型要 素による高精度解析法・, 技報堂出版